

# ارائه‌ی گراف‌های طراحی به منظور به کارگیری ستون‌های سنگی جهت تثبیت خاکریز راه‌آهن متقکی بر بستر رسانی نرم

هرتضی اسماعیلی\* (استادیار)

دربیم سوابی (دانشجوی کارشناسی ارشد)  
دانشکده‌ی مهندسی راه‌آهن، دانشگاه علم و صنعت ایران

کتر پایداری و نشت خاکریزهای راه‌آهن متقکی بر بسترهای رسانی نرم از نظر حفظ اینمی اهمیت ویژه‌ی دارد. در میان روش‌های تثبیت، اجرای ستون‌های سنگی ضمن سهولت اجرا و کارایی قابل ملاحظه، سارگاری بیشتری را با محیط زیست از خود نشان می‌دهد. در این نوشتار تلاش شده است تا با استفاده از روش انتقاد محدود و نرم افزار PLAXIS 2D، مناسب‌ترین شیب پایدار خاکریز در اتفاقات مختلف و در شرایط متقکی بر ستون‌های سنگی مشخص شود. سپس با توجه به نتایج تحلیل عددی، به طور جداگانه روابطی تحلیلی میان بار محوری راه‌آهن و نشت خاکریز با پارامترهای هندسی ستون‌سنگی و مقاومت زهکشی‌نشده بستر استخراج شده است. همچنین کفايت شیب خاکریز و چیدمان ستون‌ها در شرایط اعمال زلزله به صورت شبه استاتیکی بررسی شده است. در پایان نیز با استفاده از رابطه‌های تحلیلی استخراج شده، گراف‌های طراحی ستون‌های سنگی زیر خاکریز ارائه شده است.

m\_esmaeili@just.ac.ir  
maryamsaraei@yahoo.com

واژگان کلیدی: خاکریز راه‌آهن، ستون سنگی، بسترهای سنت.

## ۱. مقدمه

خاکریز با استفاده از انواع مختلف شمع‌ها و سیستم میخکوبی<sup>۱</sup>، و همچنین بهبود شرایط زهکشی در بستر را شامل می‌شوند.<sup>[۱]</sup> در میان روش‌های مسلح‌سازی بستر به کاربرد ستون‌هایی متصلک از مصالح سنگی در بستر خاکریز اشاره شده است که از نظر فنی ستون‌های سنگی و یا شنی<sup>۲</sup> نامیده می‌شوند. در عبارتی ساده جایگزینی بخشی از خاک ضعیف به‌وسیله‌ی ستون‌های قائم متراکم شده متصلک از مصالح دانه‌ی سی به صورت مجموعه‌ی منظم و کاملاً قابل نفوذ در لایه‌های خاک را «stonهای سنگی» می‌نامند. با توجه به مزایای استفاده از ستون‌های سنگی، بررسی امکان‌پذیری و ارائه‌ی روش طراحی آن‌ها برای مسلح‌سازی خاکریزهای راه‌آهن می‌تواند بسیار سودمند باشد.<sup>[۲]</sup>

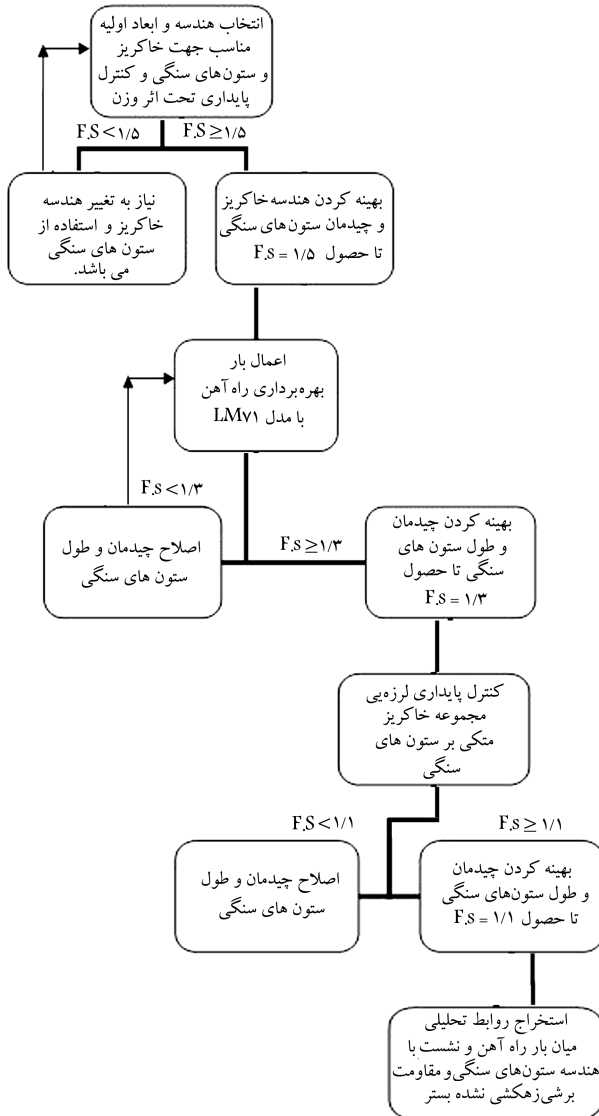
تجربه‌ی سال‌های اخیر در این زمینه نشان‌دهنده‌ی استقبال جامعه‌ی مهندسی ژئوتکنیک در استفاده از این روش برای تثبیت بسترهای سنت راه‌آهن است. مثلاً استفاده از این روش در پروژه‌های همچون بهسازی خطوط سریع‌السیر هامبورگ-برلین آلمان<sup>۳</sup> (۱۹۹۰) و کوالالامپور<sup>۴</sup> (۱۹۹۲)، مسلح‌سازی قدیمی ترین خط راه‌آهن استرالیا<sup>۵</sup> (۱۹۹۴)، خط ریلی در چین-سنگاپور<sup>۶</sup> (۲۰۰۱-۲۰۰۳)، و بخشی از خطوط راه‌آهن لس‌آنجلس و سان‌فرانسیسکو<sup>۷</sup> (۲۰۰۰) را می‌توان نام برد.<sup>[۳]</sup> با توجه به گسترش استفاده از ستون‌های سنگی، کارهای تحقیقاتی بسیاری نیز به صورت آزمایشگاهی، میدانی و عددی در این زمینه انجام شده است. به طور کلی با مروری بر ادبیات فنی موجود درخصوص رفتار و نحوه عملکرد ستون‌های

خطوط ریلی به منزله‌ی یکی از مهم‌ترین و قدمی‌ترین روش‌های حمل و نقل دارای اهمیت و جایگاه ویژه‌ی در میان سایر سیستم‌های حمل و نقل است. از این رو انجام تحقیقات کاربردی در زمینه‌ی زیرساخت‌های این سیستم بسیار مهم و ضروری به نظر می‌رسد. از طرفی گسترش استفاده از این سیستم حمل و نقل و اهمیت یافتن پارامترهایی مانند افزایش سرعت و بار محوری و بهمواره افزایش ضریب اینمی حرکت و راحتی سفر، تأمین بستری مناسب برای عبور خطوط ریلی را «الزامی ساخته است.

یکی از معضلات اجرای راه‌آهن روی بسترهای نرم رسانی، عدم تأمین ظرفیت باربری و همچنین وقوع نشت قابل توجه خط است. معمولاً در اثر اعمال وزن خاکریز راه‌آهن به همراه بار محور قطارهای عبوری، بسترهای نرم ممکن است دچار گسیختگی و یا نشت قابل ملاحظه‌ی شوند. با نگاهی به ادبیات فنی موجود در حوزه‌ی ژئوتکنیک خطوط ریلی ملاحظه می‌شود که روش‌های متعددی برای تأمین پایداری خاکریز متقکی بر چنین بسترهایی پیشنهاد شده است. این روش‌ها محدوده‌ی وسیعی مشتمل بر بهسازی شرایط بستر با روش‌های تثبیت مکانیکی و شیمیایی، اصلاح هندسه از طریق ایجاد برم (بله) یا تغییر شیب خاکریز مسلح‌کردن بستر با استفاده از ژئوستیک‌ها، احداث سازه‌های نگهبان در مجاورت شیب، پایدارسازی

\* نویسنده مسئول

تاریخ: دریافت ۲۸/۱/۱۳۸۹، اصلاحیه ۱۰/۱/۱۳۸۹، پذیرش ۲۶/۱۱/۱۳۸۹.



شکل ۱. روند استفاده از ستون های سنگی.

راه آهن اعمالی و همچنین نشست ناشی از آن با پارامترهایی چون طول، قطر، تعداد  
ستون های سنگی و همچنین مقاومت پرشی زهکشی نشده‌ی ستر رسی اقدام شده  
است. در پایان نیز بر مبنای روابط تحلیلی استخراج شده، اقدام به ارائه‌ی گراف‌های  
طراحی در این زمینه شده است. در شکل ۱، روند انجام تحقیق برای رسیدن به  
روابط تحلیلی موردنظر نشان داده شده است.

### ۳. تحلیل پایداری خاکریز تحت اثر وزن به منظور تعیین هندسه‌ی مناسب

در شرایطی که خط ریلی روی خاکریز قرار می‌گیرد، مسئله‌ی تأمین ظرفیت بار بری  
خط ریلی به واسطه‌ی پایداری خاکریز و همچنین کنترل مجموع نشت خاکریز  
و ستر از دیدگاه بهره برداری اهمیت ویژه‌ی دارد. در این بخش در ابتدا مسئله‌ی  
پایداری تحت تأثیر وزن خاکریز بررسی می‌شود که این مسئله تابع مشخصات مقاومتی  
مصالح خاکریز و بستر از یک طرف، و از طرف دیگر هندسه و شکل خاکریز است.

سنگی، تحقیقات انجام شده عمده‌ای در بخش‌های مانند توسعه‌ی روش‌های طراحی  
ستون های سنگی، نقش این ستون‌ها بر تسریع نشست تحکیمی، افزایش مقاومت  
برشی، ظرفیت بار بری مصالح ریزدانه‌ی اشباع، تعیین خصوصیات محیط‌های معادل  
برای زمین های اصلاح شده با ستون های سنگی و بررسی مکانیزم شکست، لغزش،  
و شکم دادگی این ستون ها متمرکزند.

از جمله کارهای عددی انجام شده می‌توان به پژوهشی (۱۹۷۹) اشاره کرد که  
طی آن روابطی ساده اما واقع‌گرایانه براساس روش المان محدود برای محاسبه‌ی  
نشست خاک تقویت شده بر پایه‌ی ضریب تمرکز نتش و تئوری تحکیم یک بعدی  
ارائه شده است.<sup>[۴]</sup> همچنین در پژوهشی دیگر (۱۹۸۱) نیز با استفاده از روش المان  
محدود به ارائه‌ی راه حلی تحلیلی بر مبنای تئوری کشسانی به منظور برآورد نشت پی  
متکی بر ستون های سنگی پراخته شده است.<sup>[۵]</sup> در سال ۲۰۰۶، نیز تحقیق عددی  
گسترده‌ی به روش المان محدود درخصوص بهیود مشخصات خاک‌های رسی  
به واسطه‌ی وجود ستون های سنگی انجام شده است.<sup>[۶]</sup> در پژوهشی دیگر (۲۰۰۸)  
درخصوص بررسی ستون های سنگی به صورت منفرد به مدل‌های کرنش سطحی  
معادل در خاک‌های مسلح شده اشاره شده است.<sup>[۷]</sup> همچنین در سال ۲۰۰۹ با  
روش المان محدود، رفتار ستون های از جنس سیمان، آهک، و مصالح دانه‌ی و  
طول متفاوت در زیر خاکریز جاده‌ی در چین بررسی شده است، به طوری‌که در آن  
خاکریز بدون مسلح‌سازی، خاکریز متکی بر ستون های کوتاه، و خاکریز متکی بر  
ستون های بلند بررسی شده است.<sup>[۸]</sup>

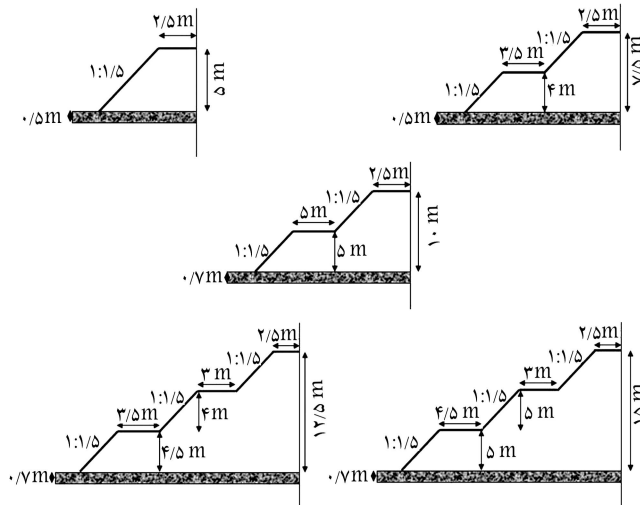
بررسی کارهای عددی انجام شده تاکنون نشان‌دهنده‌ی آن است که مسئله‌ی  
اندکش خاکریز با ستون های سنگی در شرایط اعمال بار راه آهن تاکنون بررسی  
نشده است. در عین حال تأثیر این ستون‌ها بر افزایش بار بری بسترهای کنترل پایداری  
خاکریز، و همچنین محدودکردن میران نشست آن دقیقاً بررسی نشده است. لذا  
موضوع این پژوهش به روش عددی اجزاء محدود و در شرایط دو بعدی کرنش  
مسطح اختصاص یافته است.

## ۲. روش تحقیق

در نوشتار حاضر با تمرکز بر خاکریزهای راه آهن متکی بر بسترهای رسی، در ابتدا با  
انتخاب یک شبیه اولیه مناسب به تحلیل پایداری خاکریز تحت اثر وزن پراخته  
شده است. برای این منظور از نرم افزار اجزاء محدود PLAXIS 2D برای تحلیل  
خاکریزهای با ارتفاع ۵ تا ۱۵ متر و متکی بر بستر رسی نرم تا سخت استفاده شده  
است.

برای این منظور با کنترل پایداری خاکریز تحت اثر وزن در ابتدا شبیه طرفین  
خاکریز و چیدمان اولیه‌ی برای ستون‌ها انتخاب شده است، به طوری‌که تواند کنینه‌ی  
ضریب اطمینان آیین نامه‌ی ۱/۵ را در این شرایط جواب‌گو باشد. در ادامه، بر راه آهن  
با استفاده از مدل بارگذاری استاتیکی LM71<sup>[۹]</sup> به خاکریز اعمال و چیدمان  
ستون‌ها برای شرایط مختلف سربار راه آهن برای رسیدن شبیه خاکریز، تعداد،  
کنترل شده است.<sup>[۱۰]</sup> نتیجه‌ی نهایی این بخش، نهایی شدن شبیه خاکریز، تعداد،  
طول، و چیدمان مناسب ستون های سنگی برای دست‌یابی به ضرایب اطمینان مجاز  
استاتیکی بوده است. در گام بعد پایداری لرزه‌ی خاکریزهای بخش قبل به روش  
شبیه استاتیکی با اعمال شتاب افقی زلزله، کنترل، و ضریب اطمینان موردنظر در این  
شرایط ۱/۱ در نظر گرفته شده است.<sup>[۱۱]</sup>

پس از اطمینان از تعادل خاکریزها، نسبت به استخراج رابطه‌ی تحلیلی میان بار



شکل ۲. مشخصات هندسی خاکریزها.

آینین نامه‌ی زیرسازی راه‌آهن، مصالح خاکریز عمدتاً متشکل از مصالح دانه‌یی با چسبندگی ناچیز و زاویه‌ی اصطکاک بالا در نظر گرفته می‌شوند.<sup>[۱۰]</sup> در روند مدل‌سازی برای چنین مصالحی شرایط زهکشی شده و مدل رفتار کشسانی - خمیری با معیار خمیری موهر - کولمب در نظر گرفته شده است. مصالح بستر نیز از جنس رس نرم تا سخت با زاویه‌ی اصطکاک ناچیز و چسبندگی متغیر در محدوده‌ی ۲۰ تا ۶۰ کیلونیون بر مترمربع فرض شده است. همچنین مدول کشسانی خاک بستر در عمق به صورت ثابت و ۵۰<sup>۰</sup> برابر مقاومت زهکشی نشده‌ی خاک فرض شده است.<sup>[۱۱]</sup> همچنین شرایط بستر زهکشی نشده و مدل رفتار آن کشسانی - خمیری با معیار خمیری موهر - کولمب در نظر گرفته شده است. بنا به توصیه‌ی آینین نامه‌ی FHWA،<sup>[۱۲]</sup> مصالح سنگی موجود در ستون‌های سنگی باید مصالح دانه‌یی با زاویه‌ی اصطکاک بالا چسبندگی بسیار کم، و دارای قابلیت زهکشی باشد. در عین حال مدول یانگ مصالح دانه‌یی این ستون‌ها عموماً بین ۱۰ تا ۴۰ برابر بستر است که در این پژوهش از ضریب ۱۰ استفاده شده است. همچنین شرایط مصالح زهکشی شده و رفتار آن کشسانی - خمیری با معیار خمیری موهر - کولمب در نظر گرفته شده است. جدول ۱، خلاصه‌ی مشخصات منظور شده برای مصالح را نشان می‌دهد.

معمولًا با توجه به مشخصات تراکمی و پارامترهای مقاومتی مناسب مصالح خاکریز انتظار می‌رود که در شرایط وجود بخش عمده‌ی از سطح لغزش بجرانی از بستر خاکریز عبور کند. در این حالت استفاده از راهکارهای اصلاحی بسته، تنها راه حل تأمین پایداری خواهد بود که در این پژوهش بحث استفاده از ستون‌های سنگی برای چنین شرایطی مطرح شده است. عموماً مطابق پیشنهاد آینین نامه‌ی UIC719-R<sup>[۱]</sup>، شب اولیه‌ی مناسب برای خاکریز راه‌آهن متشکل از مصالح دانه‌یی (H:V ۱:۱/۵) و برای خاکریز متشکل از مصالح چسبنده (H:V ۱:۱/۵) ۱:۲ (H:V) است.

در این پژوهش برای تأمین پایداری شب اخاکریزهای راه‌آهن در محدوده‌ی ارتفاعی ۵ تا ۱۵ متر به طور هم‌زمان از اعمال تغییر در هندسه‌ی خاکریز با استفاده از تغییر شیب، یا ایجاد برم و همچنین مسلح سازی بستر با لحاظ ستون‌های سنگی استفاده شده است. در هر یک از این خاکریزها، ابتدا از شب اولیه‌ی آینین نامه‌ی UIC719-R<sup>[۱]</sup> استفاده شده است. البته در برخی حالات از شب اولیه‌ی نظری (۱:۳) برای کنترل نتایج استفاده و درنهایت، حالت بهینه نظری کم‌ترین حجم خاکریز با شب ۲:۳ انتخاب شده است. لازم به ذکر است که با افزایش شیب، گستردگی وزن خاکریز بر روی بستر سیستم رسی بیشتر خواهد شد که همین امر در برخی موارد باعث کاهش ضریب اطمینان پایداری شده است. بنابراین در صورت ناپایداری شب خاکریز تحت وزن، با قراردادن برم (بله) در نیمه‌ی ارتفاع، شب خاکریز کنترل و پایداری حاصل شده است و درنهایت طرح اولیه‌ی بهینه برای خاکریزهای با ارتفاع ۵، ۷/۵، ۱۰، ۱۲/۵ و ۱۵ به دست آمده است (شکل ۲). در ادامه، جزئیات روند تحلیل عددی پایداری ارائه شده است.

### ۱.۳. مشخصات مصالح و مدل رفتاری

در این پژوهش مصالح خاکی در سه بخش خاکریز، ستون‌های سنگی، و بستر مطالعه شده است. از دیدگاه مهندسی زیوتکنیک، خاکریز راه‌آهن به دو بخش ساگرید و بدنه‌ی باربر تقسیم‌بندی می‌شود.<sup>[۱۳]</sup> مطابق پیشنهاد آینین نامه‌ی UIC719-R<sup>[۱]</sup>، لایه‌ی ساگرید با تراکم کمینه‌ی ۹۸٪ آشتی اصلاح شده و ضریب تغییرشکل هر لایه‌ی  $E_V$  آن برابر ۸۰ مگاپاسکال است. همچنین بدنه‌ی باربر خاکریز نیز دارای تراکم کمینه‌ی ۹۰٪ آشتی اصلاح شده و  $E_V$  آن ۴۵ مگاپاسکال برای خاک‌های چسبنده و ۶۰ مگاپاسکال برای خاک‌های دانه‌یی است. اما مطابق با

جدول ۱. مشخصات مصالح.

مشخصات مصالح	$C_u$ (kN/m <sup>۳</sup> )	زاویه‌ی اصطکاک (Φ درجه)	وزن مخصوص $\gamma_{sat}$ (kN/m <sup>۳</sup> )	رفتار مصالح	زهکشی	ضریب پواسون	مدول یانگ (kN/m <sup>۳</sup> )
خاکریز	۳/۵	۳۶	۲۰	موهر	شده	۰/۳	۶e <sup>۴</sup>
	۲/۵	۳۸		کولمب			۸e <sup>۴</sup>
بسطر	۲۰-۶۰	۱	۱۸	موهر کولمب	نشده	۰/۵	$C_u \times ۵۰۰$
ستون سنگی	۱	۴۲	۲۰	موهر کولمب	نشده	۰/۳	$۱۰ \times E_{subgrad}$

این ستون‌ها افزایش داده شده است. در ادامه، چیدمان ستون‌ها در طرفین با همین الگو ادامه یافته و این روند برای تمامی خاکریزهای موردمطالعه دنبال شده است. [۱]

#### ۴.۳. نتایج اولیه‌ی تحلیل پایداری خاکریز تحت اثر وزن

همان‌طور که در شکل ۴ نشان داده شده است، مشخصات هندسهی بهینه‌ی انواع خاکریزها پس از انجام تحلیل پایداری تحت اثر وزن ارائه شده است. خاکریزهای بلند  $12.5$  و  $15$  متری به ترتیب نیازمند دو برم  $3$  و  $5$  و نیز  $3/5$  و  $4/5$  متری و خاکریزهای  $7.5$  و  $10$  متری به ترتیب به یک برم  $3/5$  و  $5$  متری و خاکریز  $5$  متری نیز بدون نیاز به برم پایداری لازم تحت وزن و بار اعمال شده هستند. لازم به ذکر است که در این قسمت چیدمان اولیه برای ستون‌های سنگی به دست آمده است که این چیدمان در بخش بعد با اعمال سربار راه‌آهن دچار تغییر خواهد شد و لذا از ارائه‌ی تعداد و مشخصات ستون‌ها در این بخش صرف‌نظر شده است.

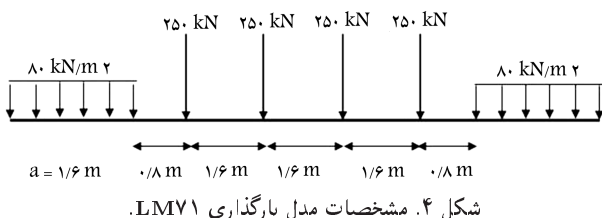
از آنجا که مطابق توصیه‌ی آین نامه‌های UIC719 و FHWA [۱۲] اجرای لایه‌ی زهکش در بالای ستون‌های سنگی و در زیر خاکریزها به‌منظور توزیع یکنواخت نتش‌الزامی است، لذا در روند مدل‌سازی ضخامت این مصالح زهکش به اندازه‌ی  $50$  تا  $70$  سانتی‌متر در نظر گرفته شده و متناسب با افزایش ارتفاع خاکریز، ضخامت این لایه نیز افزایش داده شده است.

#### ۴. تحلیل پایداری شیب خاکریز تحت اثر بار راه‌آهن

در این بخش با استفاده از مقادیر شیب نهایی شده در بخش قبل برای خاکریز و با فرض هندسه‌ی ثابت برای آن با اعمال بار راه‌آهن کنترل پایداری صورت گرفته است. در این روند چنانچه شرایط ناپایداری در بسترهای ملاحظه شده با افزایش تعداد و طول ستون‌ها مطابق روندی که در بخش (۳.۳) بیان شد، نسبت به ایجاد شرایط پایدار برای خاکریز اقدام شده و در ادامه، جزئیات روند تحلیل بررسی خواهد شد.

#### ۴.۱. الگوی بارگذاری راه‌آهن

در این پژوهش از الگوی بارگذاری پیشنهادی مطابق UIC719 [۱۳] برای قطارهای بین شهری یعنی LM71 استفاده شده است. با توجه به بررسی اثر تغییر بار محوری در حل مسئله‌ی پایداری خاکریز راه‌آهن، در این راستا محدوده‌ی مقادیر بارمحوری برابر  $2/5$ ،  $15$ ،  $17.5$ ،  $20$  و  $25$  تن در نظر گرفته شده و برای این منظور الگوی بارگذاری استاندارد به نسبت این مقادیر به بار محور استاندارد  $25$  تن تغییر داده شده است. شکل ۴ چیدمان طولی و مقدار بارگذاری استاندارد را نشان می‌دهد. از آنجا که تحلیل پایداری در جهت عرضی و به صورت دو بعدی و در شرایط کرنش مسطح صورت می‌گیرد، لازم است توزیع بار راه‌آهن در این جهت تعیین شود. با فرض توزیع نتش  $H:V = 1:2$  برای بار زیر تراورس مقدار بار در جهت عرضی



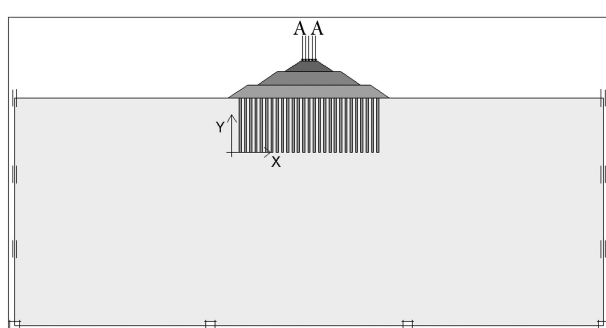
شکل ۴. مشخصات مدل بارگذاری LM71.

#### ۲.۳. هندسه‌ی مدل، شرایط مرزی و المان مورد استفاده

برای تحلیل پایداری خاکریزها لازم است که ابعاد مدل بهگونه‌ی انتخاب شود که اثرات توزیع نتش در مرزهای قائم و افقی در شرایط واقعی باشند. لذا ابعاد عرضی مدل برابر  $150$  متر و ارتفاع آن  $90$  متر انتخاب شده است. لازم به ذکر است که با انتخاب ابعاد مناسب مدل در جهت افقی، نتش‌ها برای تنش سربار ناشی از وزن شده است. در راستای قائم نیز هدف رسیدن به میزان نشست ۷۸٪ در عمق است که از این جهت ابعاد مناسبی در این راستا برای مدل انتخاب شده است. همچنین برای المان‌بندی از المان مثلثی  $15$  گرهی در شرایط کرنش مسطح و برای اعمال شرایط مرزی نیز از شرایط مرزی استاندار استفاده شده است؛ [۱۴] برای نمونه در شکل ۳، مدل‌سازی خاکریز  $15$  متری نشان داده شده است.

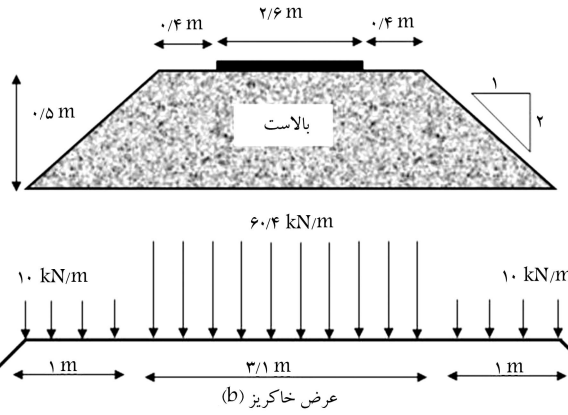
#### ۳. روش تحلیل پایداری شیروانی خاکریز

در این پژوهش در روند تعریف بارگذاری از روش ساخت مرحله‌ی <sup>۸</sup> استفاده شده است. برای این منظور لایه‌ی خاکریز در گام‌های مختلف تعریف و درنهایت با رگذاری استاتیکی راه‌آهن در تاج خاکریز اعمال شده است و در هر دو حالت شرایط ساخت و بهره‌برداری ضریب اطمینان پایداری شیب خاکریز به عنوان نتایج تحلیل مدنظر بوده است. با توجه به روند سعی و خطأ در تغییر شیب و هندسه‌ی خاکریز و همچنین تغییر طول و تعداد چیدمان کمیته‌ی مجاز بوده است. رسیدن به بهینه‌ترین حالت برای کسب ضریب اطمینان کمیته‌ی مجاز یابنده <sup>۹</sup> روند تحلیل پایداری شیروانی به صورت پارامترهای مقاومت برشی کاهش یابنده <sup>۱۰</sup> بوده است که این روش پیشنهادی در نرم‌افزار اجزاء محدود ۲D PLAXIS <sup>۱۱</sup> گشجت‌اند شده است. [۱۵] لازم به ذکر است در روند مدل‌سازی ستون‌ها در زیر خاکریز در ابتدا ستون‌ها به صورت قرینه از مرکز و یا محور تقارن خاکریز با طول کمیته‌ی  $5$  متر در طرفین قرار گرفته‌اند و بنا به نیاز تعداد آن‌ها افزایش یافته است. در این روند افزایش تعداد ستون‌ها تا جایی ادامه می‌یابد که عرض خاکریز توسط ستون‌ها پوشش داده شده است و همچنین افزایش طول تا رسیدن به حد کمانتش مدنظر قرار می‌گیرد. در این راستا بنا به توصیه‌ی FHWA [۱۶] طول ستون‌های سنگی به بیشینه‌ی  $20$  متر محدود شده است. اما باید به این نکته توجه داشت که با توجه به شکل ذوزنقه‌ی خاکریز به ستون‌هایی که در زیر بیشترین ارتفاع خاکریز واقع می‌شوند، نسبت به ستون‌هایی که در شیب خاکریز واقع می‌شوند بار بیشتری به آن‌ها اعمال می‌شود و از ظرفیت باربری آن‌ها استفاده می‌شود. از این رو از دید فنی ساخته‌ای در این نوشтар ابتدا تمرکز ستون‌ها زیر مرکز خاکریز با بیشترین ارتفاع در نظر گرفته شده و در گام بعد طول



شکل ۳. نمونه‌ی از مدل‌سازی هندسه‌ی خاکریز  $15$  متری در نرم‌افزار PLAXIS.

**۱.۳.۴. دامنه‌ی کاربرد ستون‌های سنگی در خاکریزهای راه آهن**  
در پژوهش حاضر پس از مدل‌سازی انواع خاکریزها و تعیین شیب نهایی آن‌ها برای پایداری تحت بار راه آهن، محدوده‌ی استفاده از ستون‌های سنگی بر روی بسترهای رسی مشخص شده است. نتایج به دست آمده در شکل ۶ نشان می‌دهد که استفاده از ستون‌ها در یک محدوده‌ی مشخص مفهوم پیدا می‌کند. مطابق نمودارهای ترسیم شده در این شکل، دامنه‌ی کمینه و بیشینه‌ی به کارگیری ستون‌های سنگی بر حسب مقاومت برشی بسته و ارتفاع خاکریز مشخص شده است. این مسئله بدين معناست که از مقادیر مقاومت برشی زهکشی نشده‌ی مشخص شده به پایین، پایداری خاکریز راه آهن حتی با استفاده از ستون‌های سنگی نیز تأثیر نخواهد شد و حد بالا نیز نشان دهنده‌ی این است که در صورت بیشتر بودن مقاومت زهکشی نشده‌ی بسته بیش از آن مقدار نیازی به ستون‌های سنگی وجود ندارد و خاکریز با بار راه آهن بر روی بسته پایدار خواهد بود. به عبارت دیگر، با افزایش ارتفاع خاکریز مقادیر مقاومت زهکشی نشده‌ی بسته افزایش می‌یابد. همچنین مشخصات ستون‌های سنگی از جمله قطر، طول و فاصله‌ی مرکز تا مرکز ستون‌های سنگی به کاررفته در ارتفاع‌های مختلف خاکریز در جدول ۲ نشان داده شده است.



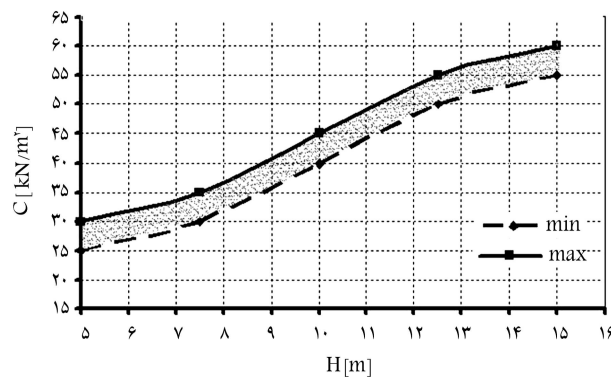
شکل ۵. هندسه‌ی خاکریز یک خطه و بارگستردی یکنواخت بر روی خاکریز راه آهن.

از رابطه‌ی ۱ تعیین می‌شود:

$$q_1 = \frac{P}{b \times a} = \frac{250}{3/1 \times 1/6} = 50/4 \text{ kN/m}$$

$$q_2 = q_1 + q_{Ballast} = 50/4 + 10 = 60/4 \text{ kN/m.} \quad (1)$$

باتوجه به وزن بالاست و همچنین تنش ناشی از بار محوری، توزیع بارگذاری عرضی به صورت نشان داده شده در شکل ۵ به عنوان ورودی تحلیل استفاده شده است. بار مرده‌ی ناشی از وزن بالاست نیز برابر با  $10 \text{ kN/m}^2$  است که در عرض تقریبی ۵ متر روی خاکریز توزیع شده است. در بخش بعد سایر پارامترهای انتخابی برای تحلیل حساسیت بررسی می‌شوند.



شکل ۶. محدوده‌ی کاربرد ستون‌های سنگی برای مسلح سازی خاکریز راه آهن در خاک‌های رسی سست.

جدول ۲. مشخصات ستون‌های سنگی.

فاصله‌ی مرکز تا مرکز ستون	D (m)	L <sub>max</sub> (m)	C <sub>u</sub> (kN/m <sup>2</sup> )	H (m)
۲	۱,۱۴	۱۱	۲۵	۵
۱,۸	۱	۱۰	۳۰	
۱,۸	۰,۹۷	۱۷	۳۰	۷,۵
۱,۷	۰,۹۷	۷	۳۵	
۱,۶	۰,۹۲	۱۷	۴۰	۱۰
۱,۵	۰,۹۲	۹	۴۵	
۱,۴	۰,۹	۱۸	۵۰	۱۲,۵
۱,۴	۰,۹	۹	۵۵	
۱	۰,۹	۲۰	۵۵	۱۵
۱	۰,۹	۱۴	۶۰	

**۲.۴. روش تحلیل پایداری خاکریز تحت اثر بار راه آهن**  
برای تعیین چیدمان و مقدار مناسب ستون‌های سنگی، در این قسمت تحلیل پایداری برای حالات مختلفی از خاکریز تحت اثر بار راه آهن صورت گرفته است. پارامترهای تحلیل حساسیت به صورت بارگذاری ناشی از راه آهن، چسبندگی بسته و ارتفاع مختلف خاکریز راه آهن انتخاب شده است. برای این منظور تحلیل پایداری خاکریزهای راه آهن در ارتفاع‌های ۵، ۷، ۱۰، ۱۲، ۱۵، ۱۷، ۲۰، ۲۵ و ۳۰ متری بر بسترهای نرم تا سخت با مقاومت‌های برشی زهکشی نشده‌ی متغیر بین ۲۰ تا ۶۰ کیلونیوتون بر مترمربع صورت گرفته است. در این تحلیل‌ها برای پایداری خاکریزها تحت اثر بار بهره‌برداری راه آهن در محدوده‌ی مقادیر مختلف مقدار ۱۲، ۱۵ تا ۲۵ تن، از قردادن ستون‌های سنگی در زیر خاکریز و تعیین مناسب‌ترین چیدمان ستون‌های سنگی به ممنظور حصول پایداری منطبق بر ضرایب اطمینان موردنظر در بخش ۲ استفاده شده است.<sup>[۱۶]</sup>

**۳.۴. نتایج تحلیل پایداری خاکریز تحت اثر بار راه آهن**  
در تحلیل‌های پایداری انجام شده، موارد مختلفی به مبنای نتایج تحلیل مدنظر بوده است. در این میان دامنه‌ی کاربرد ستون‌های سنگی برای پایداری خاکریز، مکانیزم انتقال بار از خاکریز به ستون‌ها، توزیع تنش در سرتون‌ها به طور ویژه مدنظر قرار گرفته‌اند. در بخشی از نوشتار نیز رابطه‌های ظرفیت بارگردانی و شنسیت برای خاکریز متکی بر ستون‌های سنگی براساس نتایج تحلیل عددی استخراج شده است که در ادامه مورد بحث قرار می‌گیرند.<sup>[۱۶]</sup>

#### ۳.۳.۴. استخراج رابطه‌ی میان بار محوری قطر و پارامترهای هندسی و مقاومت برشی بستر

در این بخش هدف آن است که با توجه به شرایط بستر رسانی از نظر مقاومت زهکشی نشده مشابه آنچه که در ارائه رابطه‌های ظرفیت برآوری شمع ها در شرایط کوتاه‌مدت مدنظر قرار می‌گیرد، رابطه‌ی مشابهی میان سربار اعمالی از طرف راه‌آهن ( $q$ ) و پارامترهای هندسی بی بعد ستون‌های سنگی  $\frac{L}{D}$  (طول به قطر)، پارامتر هندسی ( $C_u$ ) و پارامتر  $\eta$  (ارتفاع به عرض) تعادل ستون‌ها  $N$  و همچنین مقاومت برشی بی بعد خاکریز  $\frac{H}{B}$  (ارتفاع به عرض) می‌باشد. برای این منظور فرم کلی را به صورت رابطه‌ی ۲ در نظر می‌گیریم:

$$q = \alpha \cdot \left(\frac{N \cdot L}{D}\right)^{\beta} \cdot \left(\frac{H}{W}\right)^{\eta} \quad (2)$$

با توجه به نتایج بدست آمده از تحلیل عددی و با استفاده از روش کمینه‌ی مجموع مربعات خطأ<sup>۱۰</sup>، مقادیر پارامترهای  $\alpha$ ,  $\beta$ ,  $\gamma$  و  $\eta$  قابل محاسبه خواهد بود. برای سهولت بیشتر از فرم خطی شده معادله به صورت رابطه‌ی ۳ استفاده شده است:

$$\ln q = \ln \alpha + \beta \ln \left(\frac{NL}{D}\right) + \gamma \ln(C_u) + \eta \ln \left(\frac{H}{W}\right) \quad (3)$$

در این صورت مقادیر این پارامترها از روش LSM به ترتیب به این صورت هستند:

$$\alpha = 46,99, \quad \beta = 0,024, \quad \gamma = -0,29, \quad \eta = -0,65$$

مقدار ضریب همبستگی و یا میزان انحراف فرمول از مقدار واقعی برای رابطه‌ی به دست آمده  $R_v = 0,97$  است. لذا فرم نهایی رابطه‌ی ۳ به صورت رابطه‌ی خواهد بود:

$$q = 46,99 \cdot \left(\frac{N \cdot L}{D}\right)^{0,024} \cdot C_u^{-0,29} \cdot \left(\frac{H}{W}\right)^{-0,65} \quad (4)$$

که در این رابطه،  $q$  بارگسترده‌ی یکنواخت راه‌آهن در عرض خاکریز بر حسب کیلونیوتن بر مترمربع؛  $D$ ,  $L$ ,  $N$  به ترتیب تعداد، طول، و قطر ستون‌های سنگی بر حسب مترا؛  $C_u$  مقاومت برشی زهکشی نشده خاک بستر بر حسب کیلونیوتن بر مترمربع؛  $W$ ,  $H$  به ترتیب ارتفاع و عرض پایین خاکریز راه‌آهن بر حسب مترا.

#### ۴.۳.۴. استخراج رابطه‌ی میان نشست، پارامترهای هندسی، و پارامترهای مقاومت برشی بستر

با رویکردی مشابه بخش قبل می‌توان میان نشست، پارامترهای هندسی ستون‌ها، خاکریز و همچنین پارامتر مقاومت برشی بستر رابطه‌ی مشابهی را به صورت رابطه‌ی ۵ برقرار کرد:

$$S_{\max} = \alpha \cdot \left(\frac{N \cdot L}{D}\right)^{\beta} \cdot \left(\frac{H}{W}\right)^{\eta} \quad (5)$$

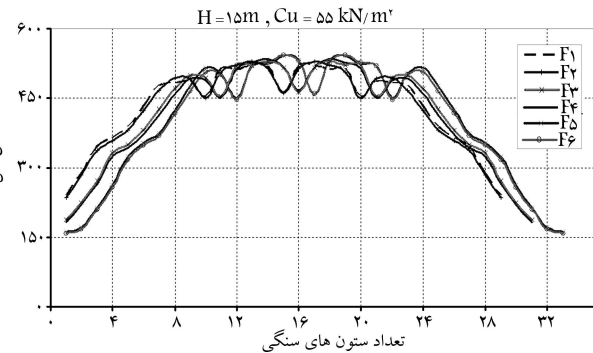
مجدداً براساس نتایج بدست آمده از تحلیل عددی و استفاده از روش LSM مقادیر پارامترهای  $\alpha$ ,  $\beta$ ,  $\gamma$  و  $\eta$  به ترتیب معادل  $0,15$ ,  $\alpha = 0,17$ ,  $\beta = -0,21$ ,  $\gamma = 0,36$  و  $\eta = 0,36$  محاسبه می‌شود. ضریب همبستگی نیز برای رابطه‌ی به دست آمده است که این ضرایب نشان‌دهنده‌ی مناسب بودن رابطه‌ی استخراج شده به لحاظ آماری است.

#### ۵.۳.۴. ارائه‌ی گراف‌های طراحی

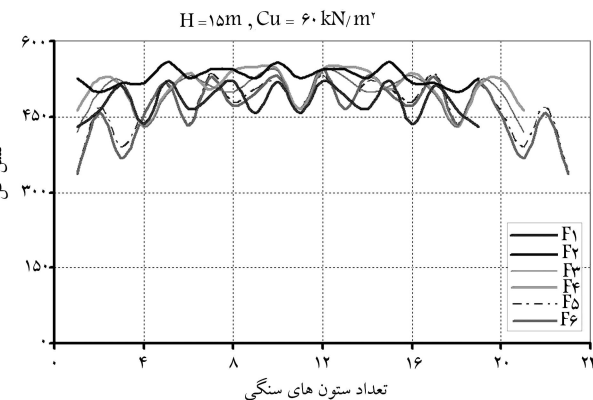
با توجه به روابط استخراج شده در بخش قبل، در این قسمت به دنبال ارائه‌ی گراف‌های طراحی کاربردی هستیم که بتوان با استفاده از آن‌ها برمی‌نمایی بار بهره‌برداری راه‌آهن، شرایط بستر و ارتفاع خاکریز، مشخصات اولیه‌یی برای ستون‌های سنگی استخراج کرد. در این راستا با استفاده از رابطه‌های تحلیلی به دست آمده‌ی ۲ و ۴ گراف‌هایی

۲.۳.۴. بررسی مکانیزم باربری ستون‌های سنگی در بسترها سمت در این بخش تنش‌های وارد برستون‌های سنگی بر اثر اعمال بار قطرار و وزن خاکریز بررسی شده است، به طوری که مقادیر تنش در بالای هر یک از ستون‌های سنگی فرائت و با رسم نمودار رفتار آن‌ها در زیر خاکریز مشخص شده است. نقاط موردنظر در بالا و وسط ستون‌ها در یک طرف خاکریز مشخص و مقادیر تنش در هر یک خوانده شده است. همان‌طورکه در شکل ۷ نشان داده شده است، نمودار متقارن است چراکه مدل سازی کاملاً لحاظ هندسی متقارن و میزان تنش در بالای ستون‌ها در دو طرف خاکریز با تقریب کاملاً قابل قبول یکسان فرض شده است و ستون‌های که در شیروانی خاکریز قرار می‌گیرند نسبت به ستون‌هایی که در وسط خاکریز واقع می‌شوند، مقادیر تنش کم‌تری را تحمل می‌کنند که البته این امر بدینهی است؛ چراکه وزن خاک و بار اعمال شده در وسط خاکریز بیشتر است. در شکل ۷ مقادیر تنش در وسط ستون‌های قرارگرفته در زیر بیشترین ارتفاع خاکریز (۱۵ متری) تحت بارهای محوری  $12,5$ ,  $15$ ,  $17,5$ ,  $20$ ,  $22,5$  و  $25$  تن که به صورت گستردگی یکنواخت بر روی خاکریز واقع شده است، به صورت  $F_1$ ,  $F_2$ ,  $F_3$ ,  $F_4$ ,  $F_5$  و  $F_6$  نشان داده شده است. محور افقی نیز بیانگر تعداد ستون‌های قرارگرفته در زیر خاکریز و محور قائم تنش در هر یک از ستون را نشان می‌دهد.

با کمی دقت و مقایسه بین شکل‌های ۷ و ۸ مشخص می‌شود که ستون‌های سنگی در بسترها با مقاومت برشی پایین، عملکرد مناسب‌تری نسبت به ستون‌هایی که در بسترها بری با مقاومت بالاتر قرار گرفته‌اند از خود نشان می‌دهند. در واقع، مقاومت بین بیشترین و کم‌ترین مقادیر تنش در  $C_u$  های پایین بیشتر است.



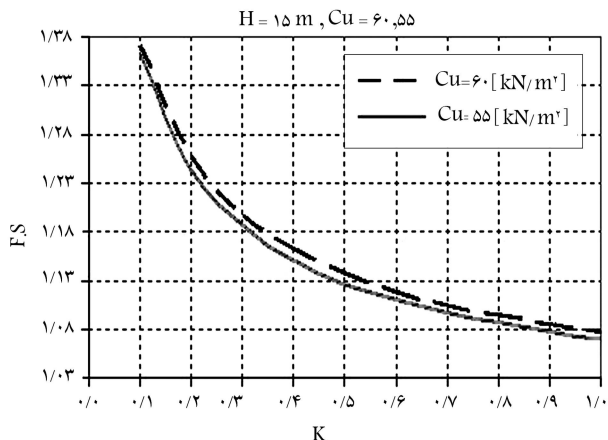
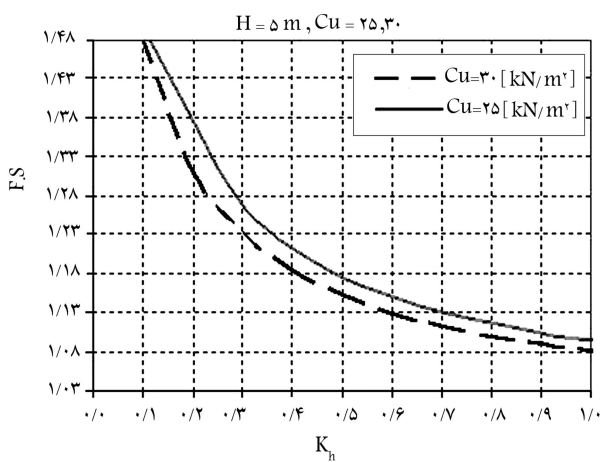
شکل ۷. مقادیر تنش در بالای ستون‌های سنگی واقع در زیر خاکریز ۱۵ متری و  $C_u = 55$



شکل ۸. مقادیر تنش در بالای ستون‌های سنگی واقع در زیر خاکریز ۱۵ متری و  $C_u = 60$

## ۵. کنترل پایداری لرزه‌ی خاکریزهای راه‌آهن متکی بر ستون‌های سنگی

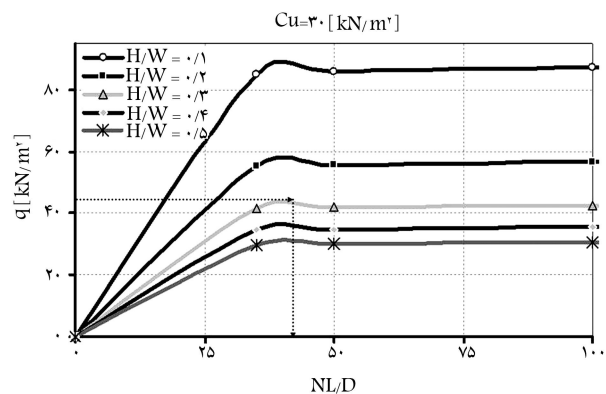
سؤال اصلی در این بخش آن است که آیا پایداری راه‌آهن این‌ترین شیب برای خاکریز و بهترین چیدمان برای ستون‌ها را در شرایط مختلف بهره‌برداری از آن کرده است یا خیر؟ به عبارت دیگر، آیا بار قطار به متنزله سر بر زنده در مقایسه با زلزله، با غالبه شمار می‌رود یا خیر؟ با انجام تحلیل‌های شبه‌استاتیک روی خاکریزهای متکی بر ستون‌های سنگی مشخص شد که برای دامنه‌ی شتاب افقی  $0^{\circ}$  تا  $5^{\circ}$  گرم خاکریزهای راه‌آهن از ارتفاع ۵ متر پایدار بوده است و ضریب اطمینان مرتبه را با دقت مناسب پوشش می‌دهند. لازم به ذکر است که این شتاب‌ها، از نظر هندسی و با توجه به شرایط کشور قابل قبول به شمار می‌روند، لذا نتایج تحلیل از نظر کاربردی دارای کفايت لازمه‌اند. شکل ۱۱، نتایج تحلیل پایداری لرزه‌ی بهروش شبه‌استاتیک را برای خاکریز  $15^{\circ}$  و  $5^{\circ}$  متری (باشدترین و کوتاه‌ترین ارتفاع خاکریز) متکی بر بستر با چسبندگی  $25$  و  $20$  کیلونیوتن بر مترمربع را به طور نمونه نشان می‌دهد. همان‌طور که در این شکل مشخص است، ضرایب اطمینان برای دامنه‌ی شتاب افقی  $0^{\circ}$  تا  $5^{\circ}$  گرم همگی بزرگ‌تر از  $1$  هستند که روند این نمودارها در تمامی خاکریزها به صورت مشابه ملاحظه شده است. لذا می‌توان گفت در محدوده‌ی کاربردی مهندسی و زلزله‌های معمول، خاکریز راه‌آهن متکی بر ستون‌های سنگی پایدار خواهد بود.<sup>[۱۱]</sup>



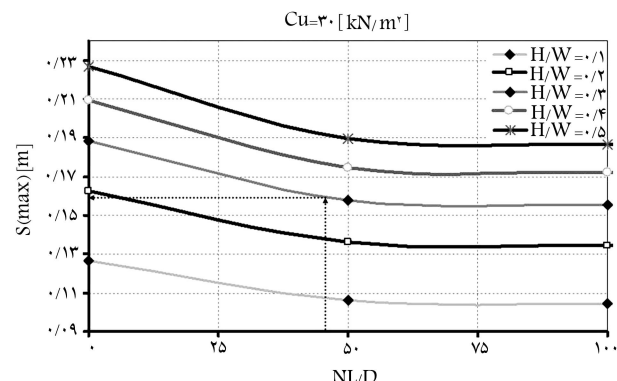
شکل ۱۱. ضریب اطمینان خاکریز  $5$  و  $15$  متری در برابر شتاب افقی زلزله.

برای بیان ارتباط میان  $q$  سر بر راه‌آهن، ابعاد هندسی خاکریز شرایط هندسی، تعداد ستون‌های سنگی و  $C_u$  مقاومت چسبندگی بستر رسم شده است. نمونه‌ی این نمودارها در شکل‌های  $9$  و  $10$  ملاحظه می‌شود. مثلاً با مشخص بودن بار قطار (به صورت گستردۀ بر روی خاکریز) و انتخاب هندسی خاکریز به راحتی مقدار تقریبی ستون‌های سنگی مورد نیاز ( $NL/D$ ) مشخص می‌شود که پس از آن با انتخاب قطر ستون سنگی با توجه به خاک بستر، تعداد و طول ستون‌ها و یا به عبارت دیگر چیدمان مناسب برای ستون‌های سنگی بدست می‌آید. پس از تعیین تعداد ستون‌های سنگی، با استفاده از شکل  $10$  به راحتی می‌توان میزان تقریبی شست کل خاکریز در محور خط را نیز تعیین کرد.

برای نمونه اگر بار محوری قطار  $25$  تن باشد،  $q = 60/4 = 15$  و مقاومت زهکشی نشده بستر  $30$  کیلونیوتن بر مترمربع و ارتفاع خاکریز  $7/5$  متر، با توجه به هندسی به دست آمده از خاکریز در بخش  $4.3$ . مقدار  $NL/D$  با ادامه نمودارهای شکل  $9$  تقریباً عددی معادل  $55$  می‌باشد که تحلیل این خاکریز با مشخصات ذکر شده توسط نرم‌افزار PLAXIS نشان می‌دهد برای پایداری نیاز به  $23$  عدد ستون با طول  $22$  متر و قطر  $1$  متر است که تعداد ستون سنگی بسیار نزدیک به عدد بدست آمده از نمودار است. پس از تعیین تعداد ستون سنگی به راحتی از شکل  $10$  می‌توان میزان تقریبی شست را تخمین زد که در این مثال، عدد  $13$  سانتی‌متر میزان شست کل در این خاکریز است که بسیار نزدیک به مقدار تعییر مکان قائم قراحت شده‌ی بالاترین نقطه در محور خاکریز به میزان  $12.6\text{ cm}$  از نرم‌افزار PLAXIS است.



شکل ۹. نمودارهای تعیین تعداد ستون‌های سنگی در مقابل میزان بار قطار و شرایط بستر.



شکل ۱۰. نمودارهای تعیین مقدار شست مطابق خاکریز تحت بار بهره‌برداری در بستر مسلح شده با ستون‌سنگی.

## ۶. نتیجه‌گیری

در نوشتار حاضر هدف ارائه‌ی روندی تحلیلی برای امکان‌سنجی استفاده از ستون‌های سنگی برای شبیت خاکریزهای راه‌آهن متکی بر بسترهای رسی سنت بوده است. درین راستا، با استفاده از روش اجزاء محدود، اندرکنش خاکریز راه‌آهن با گروه ستون‌های سنگی تحت اثر بار راه‌آهن و شتاب افقی زلزله با روش شبیه‌استاتیک بررسی شده است. به طور کامی عمدی نتایج بدست آمده از پژوهش را می‌توان به این صورت خلاصه کرد:

- ستون‌های کناری با ستون‌های میانی زیاد نیست که علت آن باربری بیشتر این نوع بسترهای رسی سنت است.
- با افزایش ارتفاع خاکریز و مقاومت زهکشی نشده بسته، سهم باربری ستون‌های سنگی از بار راه‌آهن کاهش می‌باید.
- از آنجایی که بار اعمال شده به ستون‌های کناری نسبت به ستون‌هایی که در وسط ارتفاع خاکریز واقع می‌شود کمتر است، مقدار تنش در ستون‌های وسط بیشتر از ستون‌های اطراف است، به طوری که با افزایش مقدار چسبندگی تفاوت میان بیشترین و کمترین مقدار تنش کاهش می‌باید و با افزایش ارتفاع این اختلاف بیشتر می‌شود.
- کتلهای لرزه‌ی در شرایط شبیه‌استاتیک نشان‌دهنده آن است که خاکریز راه‌آهن متکی برستون‌های سنگی تا شتاب افقی  $5\text{ g}$  دارای پایداری مناسبی‌اند و لذا می‌توان این‌گونه استباط کرد که بار زنده‌ی راه‌آهن را می‌توان بار غالب در طراحی این سیستم فرض کرد.
- رابطه‌های رگرسیون و گراف‌های طراحی ارائه شده را می‌توان با دقت مناسبی برای ارزیابی اولیه‌ی تعداد و ابعاد ستون‌های سنگی زیر خاکریز راه‌آهن به کار برد.

## پانوشهایا

1. nailing
2. stone or sand column
3. KTM
4. Graz-Wies-Eibiswald
5. ipoh-rawang double track
6. SFM rail yard
7. ASHTO-T221-T222
8. stage contraction
9. c- $\varphi$  reduction
10. list square method (LSM)

## منابع (References)

1. UIC719R, *Earthwork And Track-Bed Layers For Railway Lines*, International Union Of Railway, 2nd Edition 1.1, Paris (1994).
2. Etezad Borojerdi, M., *Geotechnical Performance of Group of Stone Columns*, A Thesis In Department of Bilding, Civil And Environmental Engineering at Concordia University, Quebec, Canada (August 2007).
3. Raju, V.R., *Ground Improvement Techniques for Railway Embankments*, Keller (M) Sdn.Bhd., Malaysia, Technical Paper, 10-59E (2004).
4. Aboshi, H.; Ichimoto, E.; Enoki, M. and Harada, K. "The composer, a method to improve characteristics of soft clays by inclusion of large diameter sand columns", *Proceedings, International Conference on Soil Reinforce-*ment: Reinforced Earth and other Techniques, 1, Paris (1979).
5. Balaam, N.P. and Booker, J.R. "Analysis of rigid rafts supported by granular piles", *Int. Journal For Numerical and Analytical Methods in Geomechanics*, 5(4), pp. 379-403 (1981).
6. Guetif, Z.; Bouassida, M. and Debats, J.M. "Improved soft clay characteristics due to stone column installation", *ScienceDirect, computers and Geotechnics*, 34(2), pp. 104-111 (2007).
7. Tan, S.A.; Tjahyono, S. and Oo, K.K. "Simplified plane-strain modeling of stone-column reinforced ground", *Journal of Geotechnical and Geoenvironmental Engineering*, 134(2), 101061/(ASCE) 1090-0241-134:2(185) (2008).
8. Abusharar, S.W.; Zheng, J.J. and Chen, B.G. "Finite element modeling of the consolidation behavior of multi-column supported road embankment", *Computers and Geotechnics*, 36(4), pp. 676-685 (2009).
9. Eurocode1, *Action on Structures-Part 2: Traffic loads on Bridges*, Final Draft PrEN 1991-2 (July 2002).
10. Instruction of design and supervision on hight speed railway, Management and planing organization of Iran, Bulletin (394) (2007).
11. General specification of railway substructure, Bulletin (279), (2004).
12. Skempton, A.W. "Notes on the compressibility of clays", *Quarterly Journal of the Geological Society of London*, 100, pp. 119-135 (1944).

13. FHWA, *Design and Construction of Stone Columns*, 1, Report No. FHWA/ RD- 83/026 (1983).
14. *Finite Element Code for Soil and Rock Analyses*, Plaxis Version 8 Tutorial Manual (2002).
15. Brinkgreve, R.B.J. and Bakker, H.L. "Non-Linear finite element analysis of safety factores", *Proc. 7th Int. conf. on Comp. Methods and Advances in Geomechanics, Cairns*, Australia, pp. 1117-1122 (1991).
16. Saraei, M. "Numerical investigation of stone columns effect on clayey beds bearing capacity", A Thesis In Department of Railway Engineering at University of Sience and Technology, Tehran, Iran (2009).
17. Bahman, M. "Numerical calculation". 16th Ed. (2009).
18. Kramer, S.L., *Geotechnical Earthquake Engineering*, Prentice-Hall, Inc (2003).